

УДК 546.29:551.352:523.68:523.161

ТЕМПЕРАТУРНЫЕ ЗАВИСИМОСТИ КОНЦЕНТРАЦИЙ ИЗОТОПОВ ГЕЛИЯ В ОБРАЗЦАХ ОКЕАНИЧЕСКИХ ПОРОД – КЛЮЧ К ПОНИМАНИЮ ПРОИСХОЖДЕНИЯ ИЗОТОПОВ ГЕЛИЯ И ИХ ВАРИАЦИЙ

© 2003 г. Г. С. Ануфриев, Б. С. Болтенков

Представлено академиком А.П. Лисицыным 17.09.2002 г.

Поступило 20.09.2002 г.

При исследовании изотопных составов гелия в коренных породах дна океана [1, 2], в океанических глубоководных илах и железо-марганцевых конкрециях (ЖМК) [3–5] было выяснено, что типичная величина отношения $^3\text{He}/^4\text{He}$ для образцов этих пород имеет один и тот же порядок величины $\sim 10^{-5}$, что существенно больше, чем в атмосфере $\sim 10^{-6}$ и в континентальных породах $\sim 10^{-8} - 10^{-7}$ [6]. Для объяснения высоких гелиевых изотопных отношений высказано на первый взгляд парадоксальное предположение, что причиной таких изотопных значений в породах дна океана является присутствие в них солнечного гелия, обогащенного изотопом ^3He (величина отношения $^3\text{He}/^4\text{He} \sim 10^{-4}$ [7]). При этом предполагается, что в коренных породах солнечный гелий – это реликтовый гелий, вошедший в состав Земли вместе с протовеществом Земли $4.6 \cdot 10^9$ лет назад и сохранившийся в мантийном веществе, в осадочных породах – это современный (в геологическом масштабе времени) солнечный гелий, доставляемый на Землю космической пылью и вместе с ней входящий в состав осадочных пород [3–5].

Остается невыясненным вопрос, может ли влияние только одного источника “аномального гелия” – например мантийного – объяснить высокие значения величин $^3\text{He}/^4\text{He}$ как в коренных, так и в осадочных породах. Кроме того, на количественной основе не изучали возможность обогащения океанических осадочных пород легким изотопом ^3He за счет нейтронно индуцированных ядерных реакций на легких изотопах, и в первую очередь на изотопе ^6Li [8]. Эти исследования особенно важны для выяснения природы изотопа ^3He в ЖМК, содержащих высокую концентрацию лития [9].

Целью этой работы является продвижение в решении отмеченных проблем, а также получение убедительного доказательства аккумулирования конкрециями космической пыли, что важно как для целей использования потока космической пыли в геохронологических задачах [10], так и для выяснения роли космического материала в океанической металлогенезии [11].

В экспериментальной части работы исследовались образец железо-марганцевой конкреции из рудной провинции Кларион–Клиппертон (Тихий океан) и образец стекловатого базальта (13° с.ш., Восточно-Тихоокеанское поднятие). Извлечение гелия осуществляли методом ступенчатого подъема температуры при нагреве образцов в вакуумной экстракционной установке, включенной “в линию” с масс-спектрометром высокого разрешения, который позволял отделять относительно слабый пик изотопа ^3He от интенсивных мешающих фоновых пиков HD и H_3 . Чтобы ослабить влияние статистического разброса числа космических пылинок в навеске, для анализа был отобран и измельчен сравнительно большой фрагмент ЖМК массой около 10 г. Образовавшийся порошок тщательно перемешан и примерно 2 г (табл. 1) было использовано в качестве навески при изотопном анализе гелия. Процедура измельчения использована также при приготовлении навески стекловатого базальта. Результаты измерений и ошибки приведены в табл. 1, а температурные зависимости концентраций в нормированных координатах на рис. 1.

Из рисунка видно, что максимальное выделение изотопа ^4He из ЖМК происходит в интервале температур $400 - 600^\circ\text{C}$, а максимальное выделение изотопа ^3He при существенно более высокой температуре 800°C . Полученный результат беспрецедентен, так как показывает не только то, что температуры максимумов выделения изотопов одного и того же инертного газа существенно не совпадают, но и то, что легкий и более подвижный изотоп выделяется не при низкой по отноше-

Физико-технический институт
им. А.Ф. Иоффе
Российской Академии наук, Санкт-Петербург

Таблица 1. Результаты изотопных анализов гелия в образцах ЖМК и базальта

T, °C	ЖМК, навеска 1.96 г			Базальт, навеска 0.817 г		
	${}^4\text{He} \cdot 10^6, \text{ см}^3/\text{г}$	${}^3\text{He} \cdot 10^{12}, \text{ см}^3/\text{г}$	$({}^3\text{He}/{}^4\text{He}) \cdot 10^5$	${}^4\text{He} \cdot 10^6, \text{ см}^3/\text{г}$	${}^3\text{He} \cdot 10^{12}, \text{ см}^3/\text{г}$	$({}^3\text{He}/{}^4\text{He}) \cdot 10^5$
200	0.016 ± 0.002	0.08 ± 0.08	0.516 ± 0.052	0.33 ± 0.03	2.81 ± 0.28	0.85 ± 0.06
400	0.078 ± 0.008	0.407 ± 0.041	0.522 ± 0.036	1.67 ± 0.16	11.7 ± 1.2	0.70 ± 0.05
600	0.082 ± 0.008	0.971 ± 0.097	1.18 ± 0.08	1.67 ± 0.16	14.1 ± 1.4	0.845 ± 0.06
800	0.046 ± 0.004	3.367 ± 0.330	7.32 ± 0.51	0.39 ± 0.04	2.9 ± 0.3	0.755 ± 0.075
1000	0.010 ± 0.001	0.990 ± 0.090	9.90 ± 0.07	0.089 ± 0.009	1.0 ± 0.1	1.10 ± 0.11
1200	0.0022 ± 0.0005	0.21 ± 0.05	9.55 ± 2.2	≤ 0.05	≤ 0.04	
Сумма	0.234 ± 0.023	6.026 ± 0.6	2.57 ± 0.25	4.15 ± 0.41	32.48 ± 0.33	0.78 ± 0.08

нию к ${}^4\text{He}$ и даже не при той же самой, а при более высокой температуре. Анализ возможных причин изотопного температурного эффекта приводит к единственному возможному объяснению. Но-

сителями основных количеств изотопов ${}^4\text{He}$ и ${}^3\text{He}$ в конкрециях являются различные по своей природе материалы: носителем ${}^4\text{He}$ – терригенный компонент, не испытавший перед входением в осадочную породу теплового нагрева, а носителем ${}^3\text{He}$ – космический компонент – космическая пыль, вошедшая с космической скоростью (12–72 км/с) в атмосферу [12] и прогретая в результате торможения в ней до температуры $<800^\circ\text{C}$.

Для сравнения на рис. 1б приведена температурная зависимость выделения изотопов ${}^4\text{He}$ и ${}^3\text{He}$ из тихоокеанского стекловатого базальта также с высоким изотопным отношением ${}^3\text{He}/{}^4\text{He} \sim 10^{-5}$, все вещество которого имеет одинаковую тепловую историю. Из рисунка видно, что оба гелиевых изотопа выделяются практически синхронно и имеют максимумы в интервале температур 400–600°C, как и изотоп ${}^4\text{He}$ в образце конкреции. Причем формы кривых газовыделения изотопа ${}^4\text{He}$ в обоих случаях очень похожи: некоторое заметное различие прослеживается только в области температуры $T = 800^\circ\text{C}$. Вероятнее всего, это подчеркивает тот факт, что одновременно с изотопом ${}^3\text{He}$ космическая пыль транспортирует в осадочные породы и некоторое количество изотопа ${}^4\text{He}$, температурный максимум которого (не выраженный отчетливо на рис. 1а) совпадает с максимумом изотопа ${}^3\text{He}$ при температуре 800°C . Кроме того, сравнение графиков для изотопа ${}^3\text{He}$ на рис. 1а и 1б указывает на их разительное отличие, что позволяет сделать вывод об отсутствии заметного вклада мантийного ${}^3\text{He}$ в общее содержание этого изотопа в веществе железо-марганцевой конкреции.

На рис. 2 приведены графики изменения величин изотопных отношений гелия в ЖМК и стекловатом базальте, демонстрирующие существенное различие в поведении этих параметров: в конкреции отношение ${}^3\text{He}/{}^4\text{He}$ возрастает с ростом температуры и достигает рекордно большой для осадочной породы величины 10^{-4} , что только в

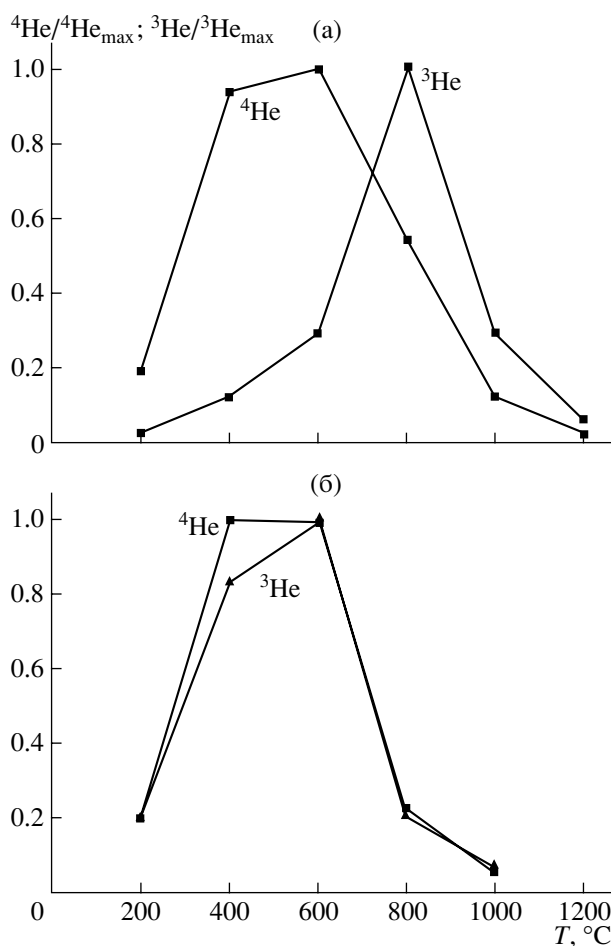


Рис. 1. Вариации концентраций изотопов гелия в нормированных координатах в зависимости от температуры нагрева образцов T в стоградусной шкале Цельсия. а – тихоокеанская железо-марганцевая конкреция; б – тихоокеанский стекловатый базальт.

4 раза меньше солнечного значения [7]. Некоторое падение величины отношения при максимальной температуре 1200°C, вероятнее всего, связано с ошибкой определения малого количества гелия, выделившегося при этой температуре. Можно считать, что в первом приближении величина отношения ${}^3\text{He}/{}^4\text{He}$ в базальте остается постоянной и слабо зависит от температуры нагрева образца. Этот результат является еще одним свидетельством различия в источниках ${}^3\text{He}$ в конкреции и базальте.

Однако возникает вопрос, не могут ли океанические осадочные породы, обогащенные изотопом ${}^3\text{He}$, вовлекаемые в конвективные движения мантийного вещества в зонах субдукции литосферных плит, явиться источником мантийного ${}^3\text{He}$, обогащающего радиогененный ${}^4\text{He}$, что приводит к изотопному составу мантийного гелия с высоким значением отношения ${}^3\text{He}/{}^4\text{He}$.

Существующие данные об изотопном составе мантийного гелия, содержащегося в газах гидротерм и вулканических газах вплоть до ${}^3\text{He}/{}^4\text{He} = 5 \cdot 10^{-5}$ [7, 13], и данные об изотопном составе мантийного гелия, захваченного природными алмазами вплоть до ${}^3\text{He}/{}^4\text{He} = 10^{-4}$ [14], а также концентрация мантийного изотопа ${}^3\text{He}$ в океанических базальтах вплоть до ${}^3\text{He} 5 \cdot 10^{-10} \text{ см}^3/\text{г}$ [1, 2] существенно большие, чем в осадочных породах, не могут быть объяснимы с позиции погружения осадочных пород в мантию в зонах субдукции. Эти величины, исходно меньшие в осадочных породах [3, 5], должны дополнительно уменьшаться за счет смешения с большим объемом мантийного вещества, содержащего исходно только радиогенный ${}^4\text{He}$ [7]. Таким образом, эффект погружения играет подчиненную роль, и изотопный состав гелия мантии определяется реликтом древнего солнечного гелия и радиогенным гелием.

Рассмотрим возможный вклад изотопов ${}^3\text{He}$ в изотопный состав гелия конкреций, образующихся в нейтронно индуцированной реакции на литии ${}^6\text{Li}(n, {}^4\text{He}){}^{12.3} \text{ лет} {}^3\text{He}$, где ${}^3\text{H}$ – тритий. Соглас-

но экспериментальным данным, средняя концентрация лития в тихоокеанских конкрециях составляет величину $120 \cdot 10^{-6} \text{ г/г}$ [9] при концентрации U $12.3 \cdot 10^{-6} \text{ г/г}$ и отношении Th/U ≈ 3.5 [15]. В этом случае в соответствии с данными работы [8] такие концентрации U и Th обеспечивают в глинах поток нейтронов $f_n = 15.6 \cdot 10^{-5} \text{ см}^{-2} \cdot \text{с}^{-1}$. Принимая и для ЖМК этот поток нейтронов, можно найти скорость r_n генерации изотопа ${}^3\text{He}$ в ЖМК по формуле $r_n = f_n s k_{\text{Li}}$, где $s = 942 \cdot 10^{-24} \text{ см}^2$ – сечение ядерной реакции на литии, $k = 0.075$ – концентрация изотопа ${}^6\text{Li}$ в литии, Li – концентрация лития.

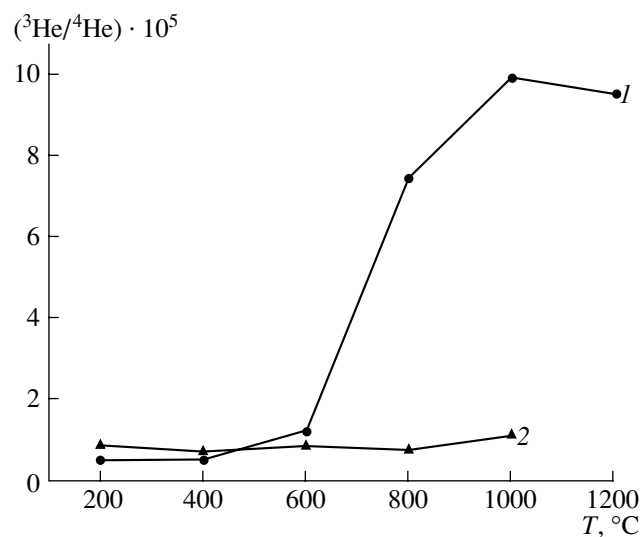


Рис. 2. Вариации изотопных отношений ${}^3\text{He}/{}^4\text{He}$ в зависимости от температуры T нагрева образцов. 1 – конкреция; 2 – базальт.

Подставляя все величины в формулу для r_n в согласованных размерностях, получим скорость генерации изотопа ${}^3\text{He}$ $r_n = 10^{-7} \text{ ат/г} \cdot \text{с}$, или $3.5 \text{ ат/г} \cdot \text{год}$. Типичный возраст глубоководных железо-марганцевых конкреций составляет величину 10^4 лет [5]. Тогда количество накопленного ${}^3\text{He}$ в конкреции при его стопроцентной сохранности составит величину ${}^3\text{He}_n = 1.3 \cdot 10^{-15} \text{ см}^3/\text{г}$, что в 10^3 – 10^4 раз меньше наблюдаемых значений (см. табл. 1 и [5]). Таким образом, при типичных величинах концентрации радиоактивных изотопов и лития в конкрециях вклад радиогенного ${}^3\text{He}$ очень невелик и им можно пренебречь.

Проведенные эксперименты и анализ показали, что изотоп ${}^3\text{He}$ в океанической ЖМК имеет космическое (солнечное) происхождение, так как появляется космической пылью и является ярким индикатором присутствия космической пыли в осадочных породах. Получено также, что вклад радиогенного ${}^3\text{He}$, образующегося в нейтронно индуцированных ядерных реакциях на литии, невелик и может не приниматься во внимание. Эти результаты важны, так как открывают возможность изучения космической пыли в лабораторных условиях, а также возможность использования потока космической пыли для датировки осадочных пород. Получено также, что прогрев космических пылинок – носителей изотопа ${}^3\text{He}$ – в результате торможения в земной атмосфере не превосходит 800°C. Тяжелый изотоп ${}^4\text{He}$, как показывает анализ, связан в основном с терригенной составляющей в осадочной породе и может являться индикатором потока терригенного материала.

Получены также дополнительные доказательства того, что обогащение мантийного гелия изотопом ^3He связано с присутствием в мантии реликтового солнечного гелия, вовлеченного в процесс аккреции Земли $4.6 \cdot 10^9$ лет назад. Ключевым исследованием в определении природы и происхождения изотопов гелия в океанических породах явились температурные зависимости концентраций и изотопных отношений гелия.

СПИСОК ЛИТЕРАТУРЫ

1. Ануфриев Г.С., Крылов А.Я., Болтенков Б.С. // ДАН. 1978. Т. 241. № 6. С. 1424–1427.
2. Ozima M., Zashu S. // Earth and Planet. Sci. Lett. 1983. V. 62. № 1. P. 24–40.
3. Крылов А.Я., Мамырин Б.А., Силин Ю.И., Хабарин Л.В. // Геохимия. 1973. № 2. С. 284–288.
4. Sano Yu., Toyoda K., Wakita H. // Nature. 1985. V. 317. № 6037. P. 518–520.
5. Ануфриев Г.С., Болтенков Б.С. // Литология и полез. ископаемые. 1996. № 5. С. 552–560.
6. Ануфриев Г.С., Крылов А.Я. В кн.: Космохимия метеоритов, Луны и планет. Киев: Наук. думка, 1980. С. 80–104.
7. Ануфриев Г.С. // Изв. АН СССР. 1981. Т. 45. № 4. С. 539–546.
8. Lal D. // Chem. Geol. Isotope Geosci. Sect. 1987. V. 66. № 1. P. 89–98.
9. Батурина Г.И. Геохимия железомарганцевых конкреций океана. М.: Наука, 1986. 328 с.
10. Ануфриев Г.С. В сб.: I Рос. конф. по изотопной геохронологии: Тез. докл. М., 2000. С. 31–33.
11. Андреев С.И. Металлогенез железомарганцевых образований Тихого океана. СПб.: Недра, 1994. 192 с.
12. Бронштэн В.А. Физика метеорных явлений. М.: Наука, 1981. 416 с.
13. Ануфриев Г.С. В кн.: Современные данные изотопной геохимии и космохимии. Л.: Наука, 1985. С. 43–71.
14. Honda M., Reynolds J.H., Roedder E., Epstein S. // J. Geophys. Res. 1987. V. 92. № B12. P. 12507–12521.
15. Волков И.И. В кн.: Геохимия донных осадков. Сер. Океанология. М.: Наука, 1979. Т. 2. С. 414–467.